

Санкт-Петербургский государственный университет

Кафедра системного программирования  
Программная инженерия

Володин Вадим Евгеньевич

# Реализация алгоритма Stereo Block Matching на архитектуре SIMD и VLIW

Курсовая работа

Научный руководитель:  
ст. преп. Пименов А. А.

Санкт-Петербург  
2019

# Оглавление

Введение	3
1. Постановка задачи	4
2. Обзор	5
2.1. Описание алгоритма . . . . .	5
2.2. Архитектура процессора . . . . .	6
2.3. Обзор существующих решений . . . . .	7
3. Реализация	9
3.1. Инструменты . . . . .	9
3.2. Скорость алгоритма и использование памяти . . . . .	9
3.3. Описание работы алгоритма . . . . .	11
3.4. Векторизация . . . . .	11
3.5. Переход от int16 к short32 . . . . .	13
4. Результаты	14
Заключение	15
Список литературы	16

# Введение

Построение *карты диспаритетов* (disparity map) по стереопаре является важной задачей компьютерного зрения. Это - процесс преобразования двух изображений с восстановлением информации о расстоянии от точек сцены до картинной плоскости. *Карта диспаритетов* содержит данную информацию в качестве интенсивности пикселя (рис. 1). Большее значение интенсивности означает меньшее значение расстояния до картинной плоскости. *Карта диспаритетов* применяется в восстановлении 3D-модели объекта по нескольким его фотографиям, снятым с разных ракурсов; для выделения фона на изображениях; склейки панорам.

Основные методы решения данной задачи разделяются на глобальные и локальные [10]. Глобальные выигрывают в качестве у локальных, но проигрывают им в скорости. Некоторые алгоритмы компьютерного зрения могут быть реализованы эффективно на специализированном оборудовании - видеокартах или цифровых сигнальных процессорах.

Одной из архитектур является линейка процессоров *EV6x* [3], произведенная компанией *Synopsys*. Ускорение происходит за счет совмещенной архитектуры *SIMD* [7] (Single Instruction Multiple Data) и *VLIW* [4] (Very Long Instruction Word). На данном процессоре реализован алгоритм построения *карты диспаритетов* Semi-Global Matching [6]. Он восстанавливает *карту диспаритетов*, обладающую хорошим качеством, но его скорость недостаточна. Необходим алгоритм с более высокой скоростью.

В рамках данной курсовой работы рассматривается Stereo Block Matching [2]. Целью данной работы является его реализация на архитектуре процессора *EV6x*.



Рис. 1: Карта диспаратитетов, соответствующая стереопаре

## 1. Постановка задачи

Целью данной работы является реализация алгоритма Stereo Block Matching для архитектуры процессора *EV6x*.

Для достижения цели были поставлены следующие задачи:

- Изучение:
  - Алгоритмов стереозрения;
  - Алгоритма Stereo Block Matching;
  - Архитектуры процессора *EV6x*;
- Определение наилучшей асимптотики алгоритма;
- Построение алгоритма для данной архитектуры;
- Улучшение алгоритма;
- Реализация алгоритма.

## 2. Обзор

### 2.1. Описание алгоритма

Входом являются два изображения одной сцены с двух камер с разных точек обзора в конкретный момент времени.

Для корректной работы алгоритма изображения выравнивают так, чтобы для каждой точки соответствующая ей парная точка находилась в той-же строке на изображении со второй камеры. Данный процесс выравнивания изображений называют ректификацией.

Для каждого пикселя левого изображения выполняется поиск соответствующего пикселя на правом изображении. Если пиксель левого изображения имеет координаты  $(x_0, y_0)$ , то соответствующий ему пиксель правого изображения будет иметь координаты  $(x_0 - d, y_0)$ , где  $d$  — величина, называемая смещением (*disparity*). Для каждого  $d$  от нуля до максимального значения смещения выделяются два квадратных блока одинакового размера (рис. 2), центрами которых являются соответствующие пиксели. Далее для блоков вычисляется метрика *SAD* (Sum of absolute differences).

$$sad_{y,x,d} = \sum_{i=-s}^s \sum_{j=-s}^s |L_{y+i, x+j} - R_{y+i, x+j+d}|$$
$$disparity_{y,x} = \operatorname{argmin}_d sad_{y,x,d},$$

где  $L$  - левое изображение,  $R$  - правое.

Блок на правом изображении с наименьшим значением метрики определяет оптимальную пару.

Значение расстояния от точки сцены до картинной плоскости обратно пропорционально величине смещения:

$$\frac{T - d}{Z - f} = \frac{T}{Z} \Rightarrow Z = \frac{f \cdot T}{d}$$

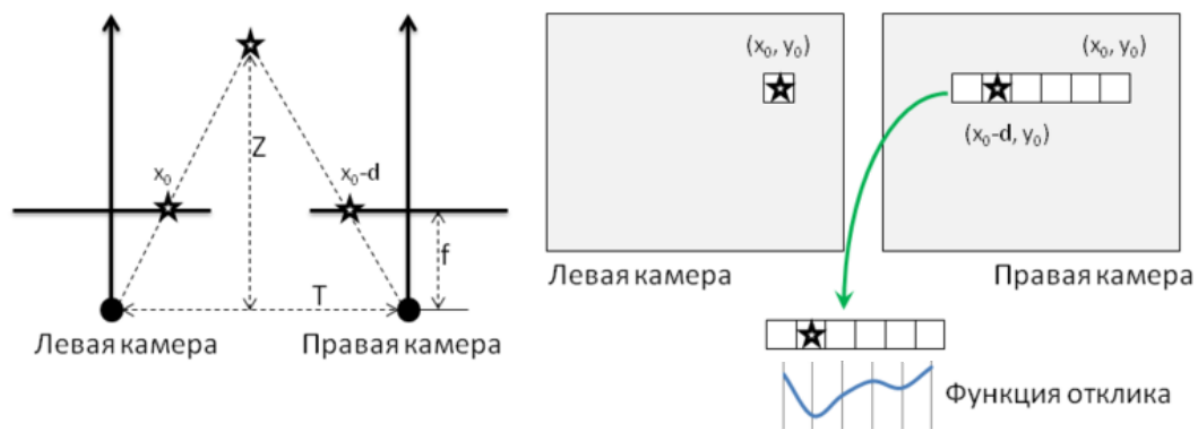


Рис. 2: Поиск смещения [11]

## 2.2. Архитектура процессора

Процессор (рис. 3), для которого необходимо реализовать данный алгоритм, имеет архитектуру *SIMD* с 512-битовыми регистрами. Поддерживаются типы `int16`, `short32`, `char64`, над которыми осуществляют операции с 16-ю числами типа `int`, 32-мя числами типа `short` и 64-мя числами типа `char` соответственно. Архитектура поддерживает *VLIW* инструкции, существует три слота для векторных операций, и один для скалярных. Таким образом, одновременно могут выполняться четыре инструкции. При этом некоторые типы инструкций, например, *vload* могут выполняться лишь на ограниченном наборе векторных слотов.

При разработке алгоритма следует учитывать количество векторной памяти, равное 128 КБ. Необходимо обрабатывать изображения по частям, не храня в памяти все данные. Например, размер *Full HD* изображения - 2 МБ, оно не поместится в векторную память.

На процессоре имеются 32 векторных регистра, в каждом из которых может храниться значение `int16`, `short32` или `char64`. Некоторые регистры могут использоваться как аккумуляторные. В таком случае к ним добавляется некоторое количество дополнительных бит. К примеру, тип `acc24x32` имеет дополнительные 8 бит у каждого из 32-х элементов вектора. Также существуют функции, работающие с предикатами. Они позволяют производить операции над заданными элементами вектора.

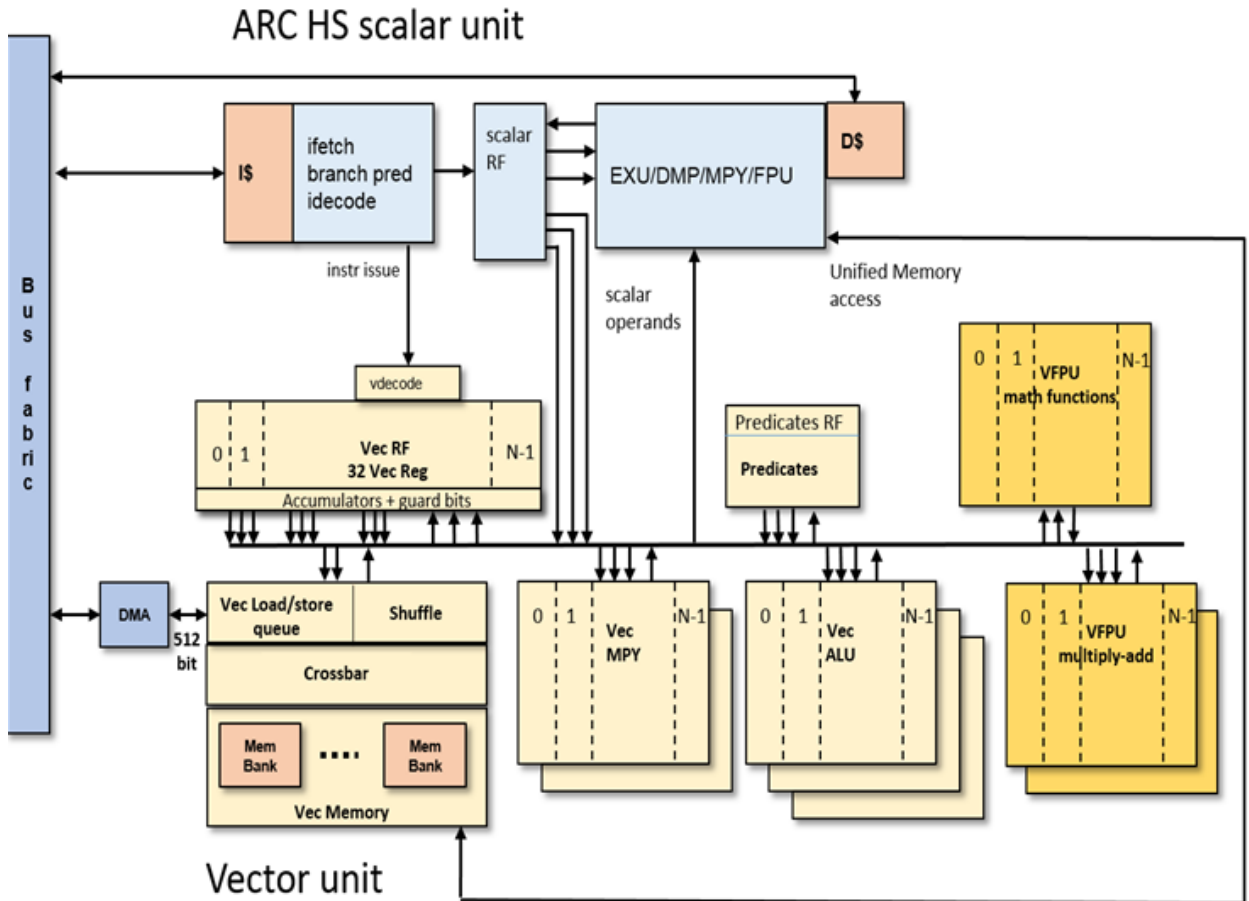


Рис. 3: Архитектура процессора *EV6x*

### 2.3. Обзор существующих решений

Алгоритм полного перебора имеет асимптотику:

$$O(w * h * b^2 * d),$$

где  $w$  и  $h$  - ширина и высота изображения,  $b$  - размер окна, для которого считается метрика  $SAD$ ,  $d$  - максимальное смещение.

Метрику можно считать за константное время с предварительной обработкой [8]. Зная для данного смещения для каждого пикселя суммарное значение  $SAD$  на прямоугольнике, одним углом которого является пиксель с координатами  $(0, 0)$ , а вторым - данный пиксель, сумму на конкретном прямоугольнике можно вычислить методом скользящего окна. В таком случае асимптотика алгоритма составляет:

$$O(w * h * d)$$

Также существуют решения, использующие *SIMD*, такие как [5] и [1]. В [1] происходит одновременное вычисление нескольких значений *sad*.



## 3. Реализация

### 3.1. Инструменты

Для написания алгоритмов для процессора используется язык Си, так как программы на этом языке являются достаточно эффективными.

Также используется язык *OpenCL*, который является расширением языка Си. *OpenCL* - стандарт, разработанный группой *Khronos*. *OpenCL* реализуется производителями оборудования и позволяет разрабатывать приложения независимо от платформы. Таким образом избегается необходимость разработки приложений для каждой целевой платформы. Целью данной работы является написание *OpenCL* kernel-а (функция в *OpenCL*, входящая в интерфейс). В действительности, используется вариация *OpenCL - Metaware OpenCL*. Для тестирования используется тестовый набор данных Tsukuba [9] *Middlebury* колледжа и компании *Microsoft*. Этот набор данных является мировым стандартом для задач стереозрения. Для тестирования было реализовано два дополнительных решения. Первое - метод полного перебора, которое использовалось в качестве референсного. Это решение было затруднительно использовать для отладки основного алгоритма в силу его высокой вычислительной сложности, поэтому было реализовано второе решение - скалярная версия с улучшенной асимптотикой, результат которой сравнивался с результатом первого решения. Второе решение оказалось достаточно быстрым для отладки.

### 3.2. Скорость алгоритма и использование памяти

Для того, чтобы показать идею алгоритма и оценить используемую векторную память, введем величину *column\_sad*.

$$column\_sad_{y,x,d} = \sum_{i=-s}^s |L_{y+i,x} - R_{y+i,x+d}|$$

Покажем, как ее посчитать, зная *column\_sad*<sub>y-1,x,d</sub>

$$\begin{aligned}
column\_sad_{y,x,d} &= \sum_{i=-s}^s |L_{y+i,x} - R_{y+i,x+d}| = \\
&= |L_{y+s,x} - R_{y+s,x+d}| + \sum_{i=-s}^{s-1} |L_{y+i,x} - R_{y+i,x+d}| = \\
&= |L_{y+s,x} - R_{y+s,x+d}| + \sum_{i=-s-1}^{s-1} |L_{y+i,x} - R_{y+i,x+d}| - |L_{y-s-1,x} - R_{y-s-1,x+d}| = \\
&= |L_{y+s,x} - R_{y+s,x+d}| + \sum_{j=-s}^s |L_{y-1+j,x} - R_{y-1+j,x+d}| - |L_{y-s-1,x} - R_{y-s-1,x+d}| = \\
&= |L_{y+s,x} - R_{y+s,x+d}| + column\_sad_{y-1,x,d} - |L_{y-s-1,x} - R_{y-s-1,x+d}|
\end{aligned}$$

Таким образом,  $column\_sad$  для текущей строки зависит лишь от  $column\_sad$  для предыдущей строки и пикселей изображения в пределах размера окна. При этом новое значение считается за константное время.

Покажем, как с помощью  $column\_sad$  посчитать  $sad$ .

$$\begin{aligned}
sad_{y,x,d} &= \sum_{i=-s}^s column\_sad_{y,x+i,d} = column\_sad_{y,x+s,d} + \sum_{i=-s}^{s-1} column\_sad_{y,x+i,d} = \\
&= column\_sad_{y,x+s,d} + \sum_{i=-s-1}^{s-1} column\_sad_{y,x+i,d} - column\_sad_{y,x-s-1,d} = \\
&= column\_sad_{y,x+s,d} + \sum_{j=-s}^s column\_sad_{y,x-1+j,d} - column\_sad_{y,x-s-1,d} = \\
&= column\_sad_{y,x+s,d} + sad_{y,x-1,d} - column\_sad_{y,x-s-1,d} =
\end{aligned}$$

Таким образом,  $sad$  также считается за константное время. При этом используя лишь  $column\_sad$  с единственным индексом  $y$ .

Пересчитывая для каждого значения  $y$  сначала значения  $column\_sad$ , а затем, зная эти значения, вычисляя  $sad$  для данного пикселя и данного смещения, получаем асимптотику:

$$O(w * h * d)$$

При этом используя дополнительное количество памяти для  $column\_sad$ , равное  $w * d$ .

Повышению эффективности способствуют одновременный подсчет  $sad$  для различных смещений благодаря *SIMD* инструкциям и возможность выполнять несколько инструкций одновременно на архитектуре *VLIW*.

Также можно заметить, что значения  $sad$  и  $column\_sad$  для различных смещений не зависят друг от друга, поэтому их можно считать отдельно, а соответственно хранить лишь  $w$  памяти для  $column\_sad$ . Если хранить значения  $column\_sad$  для 32-х смещений для *Full HD* изображения, то объем памяти равняется 64 КБ. Дополнительно, необходимо осуществлять доступ в векторную память к строкам двух изображений с индексами  $y - s - 1$  и  $y + s$ , а также к строке  $sad$  и  $disparity$ . Таким образом, используется дополнительно 12 КБ. Итоговое количество используемой векторной памяти - 76 КБ, что укладывается в допустимое количество памяти, 128 КБ.

### 3.3. Описание работы алгоритма

Алгоритм заключается в следующем. Фиксируется смещение  $d$ . Вычисляется  $column\_sad$  для первых  $block\_size - 1$  строк. Далее идет итерация по строкам. Вычисляется  $column\_sad$ , необходимый для определения  $sad$  текущей строки. Итерируясь по столбцам, вычисляется  $sad$  для конкретного пикселя. В зависимости от минимального значения  $SAD$  для данного пикселя и предыдущего значения смещения, обновляется минимальное значение  $SAD$  и смещение, соответствующее ему.

### 3.4. Векторизация

Так как значения  $sad$  и  $column\_sad$  для различных смещений не зависят друг от друга, в элементах вектора можно хранить информацию, соответствующую различным смещениям, и производить операции над векторами.  $sad$  накапливается в аккумуляторном регистре типа  $acc24x32$ . Для корректных вычислений на границах используются

предикаты.

Единственный момент, когда происходит работа с несколькими смещениями сразу - поиск минимального *sad* среди различных смещений. Для этого необходимо использовать доступную в *OpenCL* функцию *reduce\_min*. Она находит минимальный элемент в векторе. Также с помощью этой функции можно реализовать *argmin* для получения смещения, зная *SAD*.

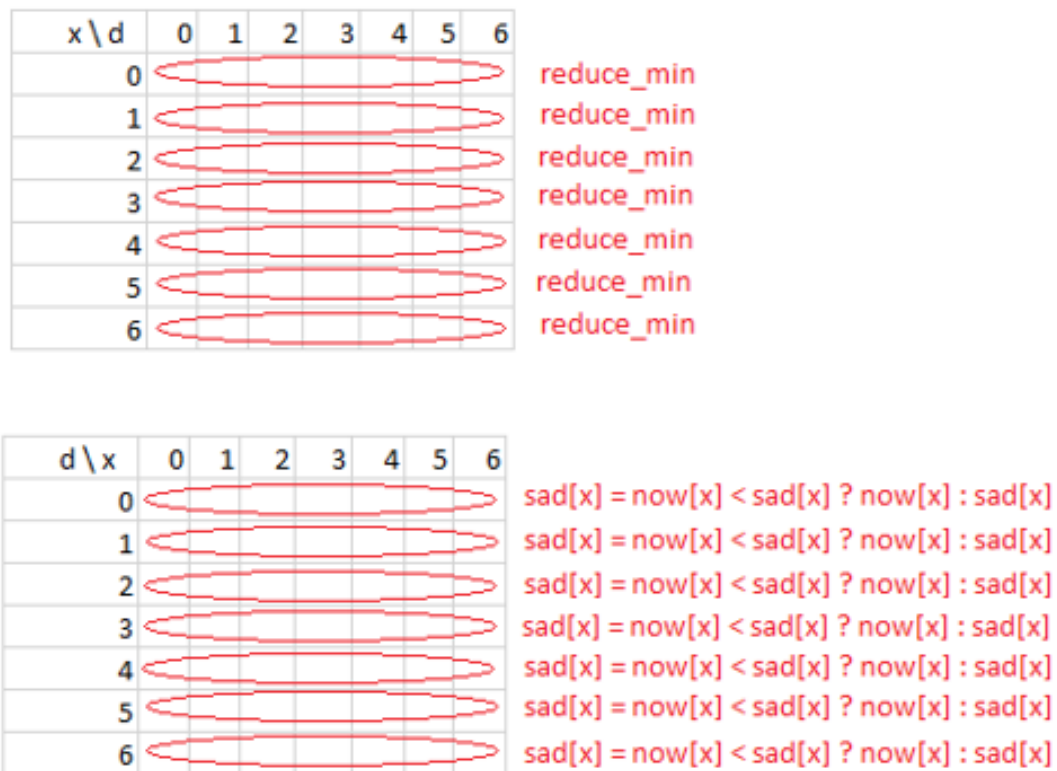


Рис. 4: Избавление от *reduce\_min*

Необходимая для этой функции инструкция не реализована на процессоре, она раскладывается в ряд других. Для вектора типа *short32* она раскладывается в 9 инструкций. Это неэффективно, поэтому был найден другой способ поиска минимального значения (рис. 4).

Вместо того, чтобы непосредственно вычислить минимальное значение *SAD* с помощью функции *reduce\_min*, накопим 32 вектора для смежных пикселей в строке. Таким образом, изменив направление векторизации, вместо *reduce\_min* становится возможным использование един-

ственной инструкции *min*.

### 3.5. Переход от int16 к short32

Необходимо правильно рассчитать используемый тип. Для блока 21x21 (размер окна по умолчанию) таким типом является int. Но можно заметить, что минимальный *SAD* превосходит максимальное значение типа short лишь изредка. Это замечание было проверено на тестовых данных (рис. 5). Первый график показывает, что среднее значение *sad* для конкретного смещения не превосходит 20.000, в то время как максимальное значение типа short - 65.536. При этом, максимальное значение минимального *sad* - 29.106. Таким образом, было решено использовать тип short32 для более эффективной реализации для значений размера окна не более 21.

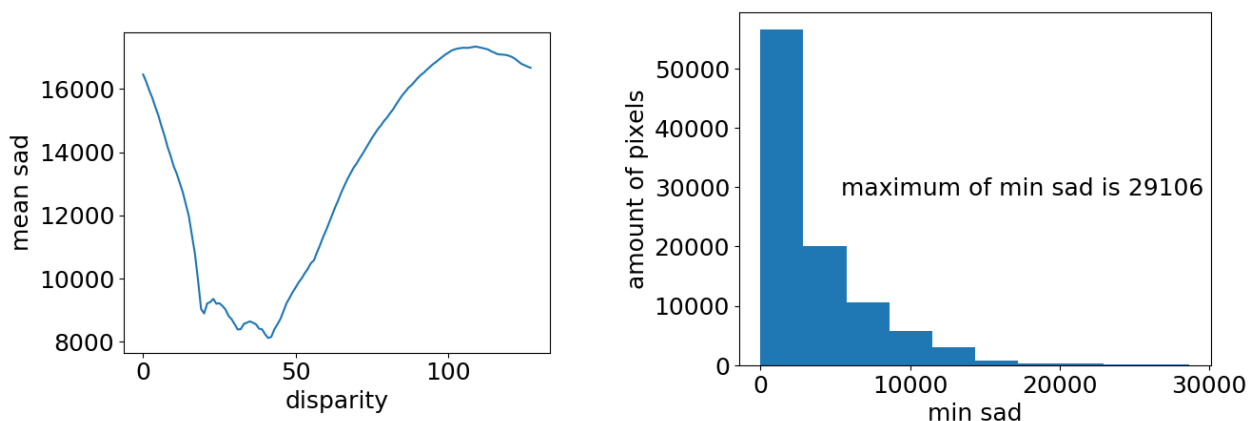


Рис. 5: На левом графике показана зависимость среднего значения *sad* в зависимости от смещения. На правом графике количество пикселей в определенном интервале минимальных значений *sad*. Количество пикселей с высокими значениями минимального *sad* мало.

## 4. Результаты

Было рассчитано теоретическое значение эффективности. Оно необходимо для понимания скорости работы алгоритма перед реализацией.

Некоторые типы инструкций на процессорах с архитектурой *VLIW* могут быть выполнены лишь на ограниченном количестве слотов. На процессоре *EV6x* инструкции типа *shuffle* задействуют модуль для перестановки элементов вектора, доступны только на 3-ем слоте. Инструкции типа *vmem* осуществляют операции с памятью, также доступны только на 3-ем слоте. Инструкции типа *alu*, представляющие собой арифметические операции, доступны на всех слотах. Для каждого слота отдельно считается количество тактов процессора на пиксель, и берется максимум, а также учитывается их суммарное значение. Итоговая формула:

$$E = 4 * \max(mem + shuffle, (mem + shuffle + alu)/3)$$

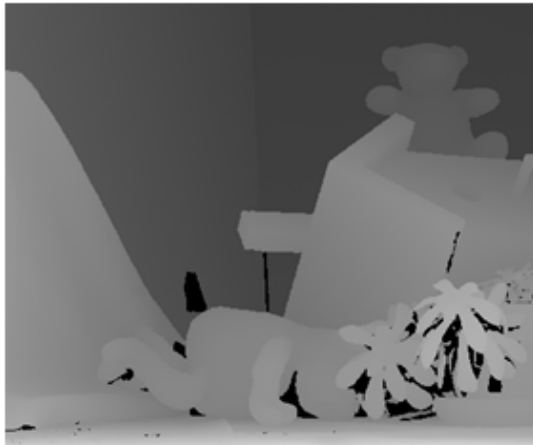
Итоговая теоретическая оценка составляет 40 пикселей на цикл (рис. 6)

	shuffle	vmem	alu	mem+shuffle	total / 3	Estimate, cycles per pixel
reduce, int16	2	5	40	7	15.6	<b>62.4</b>
reduce, short32	2	5	24	7	10.3	<b>41.2</b>
no reduce, int16	4	9	14	13	9	<b>52</b>
no reduce, short32	3	7	11	10	7	<b>40</b>

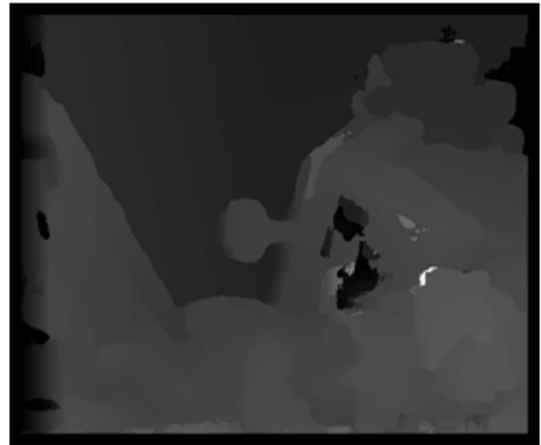
Рис. 6: Теоретическая оценка

Скорость реализованного алгоритма (без *reduc\_min*, с типом *short32*) составляет 107 тактов процессора на пиксель. Замедление более чем в два раза можно объяснить не до конца идеальной работой компилятора с разложением *VLIW* инструкций, длительным копированием данных в векторную память, и большой загрузкой скалярного слота, который не был учтен в расчетах.

Результат работы алгоритма представлен на рис. 7.



Ground truth



Result

Рис. 7: Слева - истинная карта диспаритетов. Справа - карта диспаритетов, полученная алгоритмом Stereo Block Matching.

## Заключение

В рамках курсовой работы были выполнены следующие задачи:

- Изучена предметная область и алгоритм, который необходимо реализовать;
- Изучена архитектура процессора;
- Построен алгоритм для данной архитектуры;
- Улучшен алгоритм:
  - Избавление от неэффективной функции;
  - Переход к типу short32;
- Оценена скорость работы и количество требуемой памяти;
- Реализован алгоритм.

В дальнейшем планируется интеграция OpenCL kernel-а в фреймворк OpenVX, который является стандартом кроссплатформенных приложений компьютерного зрения.

## Список литературы

- [1] Bodkin Bryan Hale. Real-Time Mobile Stereo Vision // Master's Thesis, University of Tennessee. — 2012. — Proceedings from the 15th International Conference on Vision Interface. Access mode: [https://trace.tennessee.edu/utk\\_gradthes/1313](https://trace.tennessee.edu/utk_gradthes/1313).
- [2] Brown M. Z., Burschka D., Hager G. D. Advances in computational stereo // IEEE Transactions on Pattern Analysis and Machine Intelligence. — 2003. — Aug. — Vol. 25, no. 8. — P. 993–1008.
- [3] DesignWare EV6x Vision Processors. — Access mode: <https://www.synopsys.com/dw/ipdir.php?ds=ev6x-vision-processors>.
- [4] Fisher Joseph A. Very Long Instruction Word Architectures and the ELI-512 // Proceedings of the 10th Annual International Symposium on Computer Architecture. — ISCA '83. — New York, NY, USA : ACM, 1983. — P. 140–150. — Access mode: <http://doi.acm.org/10.1145/800046.801649>.
- [5] Hachaj T., Ogiela M. R. Real time area-based stereo matching algorithm for multimedia video devices // Opto-Electronics Review. — 2013. — Dec. — Vol. 21, no. 4. — P. 367–375. — Access mode: <https://doi.org/10.2478/s11772-013-0107-5>.
- [6] Hirschmüller Heiko. Accurate and Efficient Stereo Processing by Semi-Global Matching and Mutual Information. — Vol. 2. — 2005. — 06. — P. 807–814.
- [7] Patterson David A., Hennessy John L. Computer Organization and Design, Fifth Edition: The Hardware/Software Interface. — 5th edition. — San Francisco, CA, USA : Morgan Kaufmann Publishers Inc., 2013. — ISBN: 0124077269, 9780124077263.
- [8] Stefano Luigi Di, Marchionni Massimiliano, Mattoccia Stefano. A fast area-based stereo matching algorithm // Image and Vision



Computing. — 2004. — Vol. 22, no. 12. — P. 983 – 1005. — Proceedings from the 15th International Conference on Vision Interface. Access mode: <http://www.sciencedirect.com/science/article/pii/S0262885604000733>.

[9] Tsukuba Dataset. Middlebury Stereo Vision. — Access mode: [vision.middlebury.edu/stereo/](http://vision.middlebury.edu/stereo/).

[10] Мокаев Руслан. Реализация алгоритма Semi-Global Matching. — 2012. — Access mode: [http://se.math.spbu.ru/SE/YearlyProjects/2012/YearlyProjects/2012/445/445\\_Mokaev\\_report.pdf](http://se.math.spbu.ru/SE/YearlyProjects/2012/YearlyProjects/2012/445/445_Mokaev_report.pdf).

[11] Основы стереозрения. — Access mode: <https://habr.com/ru/post/130300/>.